

01; 07

© 1992

ПЕРЕКЛЮЧЕНИЕ СОЛИТОНОВ  
 В НЕЛИНЕЙНОМ НАПРАВЛЕННОМ ОТВЕТВИТЕЛЕ  
 С АКТИВНЫМ ЭЛЕМЕНТОМ

Ф.Х. А б д у л л а е в, С.А. Д а р м а н я н,  
 В.И. Г о н ч а р о в

Известно, что использование сверхкоротких солитонных оптических импульсов открывает новые возможности для создания различных оптических устройств – сверхскоростных переключателей, транзисторов, логических элементов и др. [1–4]. Одним из примеров таких устройств является нелинейный направленный ответвитель (ННО), состоящий из двух параллельных туннельно-связанных волоконных световодов. В работах [1, 2, 5] было показано, что в ННО возможно управление переключением энергии оптических импульсов между каналами распространения и найдены характерные величины линейной связи и параметров солитонов, оптимальные для этого процесса. Для ряда приложений, например, для повышения эффективности и улучшения характеристик работы оптических переключателей и транзисторов, желательно, чтобы характеристики переключения – зависимость выходных параметров импульсов (например, энергии) в различных каналах ННО от входных – имели более кругой наклон. В этом случае меньшим изменением входной мощности сигнала можно добиться более эффективного переключения энергии на выходах ответвителя. Для достижения этой цели мы предлагаем использовать ответвитель, у которого в одном из каналов происходит усиление импульсов, например, благодаря введению активных примесей [6].

Рассмотрим работу такого ННО. Уравнения, описывающие распространение оптических импульсов выражаются в виде системы двух стандартно обезразмеренных, линейно связанных, модифицированных нелинейных уравнений Шредингера:

$$iu_{1x} + \frac{1}{2} u_{1zz} + |u_1|^2 u_1 = \varepsilon u_2 + i\gamma_1 \left[ 1 + \frac{1}{(\omega_g z_0)^2} \frac{\partial^2}{\partial z^2} \right] u_1, \quad (1, a)$$

$$iu_{2x} + \frac{1}{2} u_{2zz} + |u_2|^2 u_2 = \varepsilon u_1 + i\gamma_2 \left[ 1 + \frac{1}{(\omega_g z_0)^2} \frac{\partial^2}{\partial z^2} \right] u_2. \quad (1, b)$$

Здесь  $u_{1,2}$  – обезразмеренные величины амплитуд электрического поля,  $x$  – нормированное расстояние вдоль оси волокна,  $z$  – время

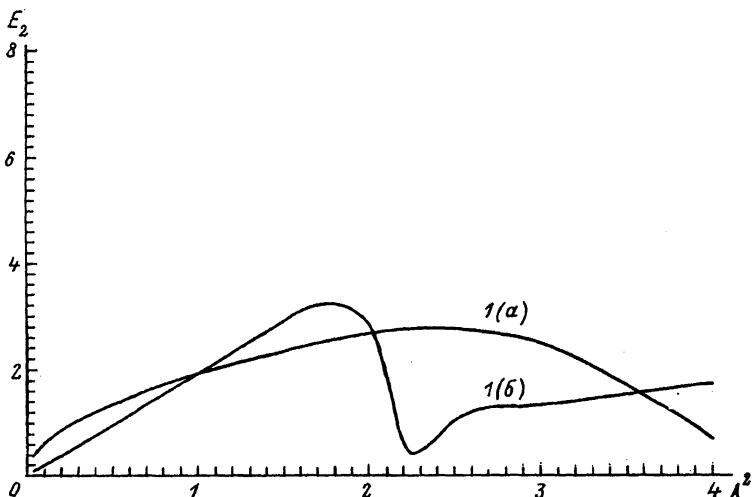


Рис. 1. Зависимость количества энергии во втором канале от квадрата начальной амплитуды в первом канале ННО без усиления ( $\gamma_{1,2}=0$ ): кривые 1(а) и 1(б) для солитонов и солитоноподобных импульсов соответственно.

в системе отсчета, движущейся вместе с импульсом,  $\varepsilon$  – коэффициент линейной связи между волноводами,  $\gamma_{1,2}$  – коэффициенты усиления,  $\tau_0$  – полная ширина солитона на полувысоте интенсивности. Отметим, что появление последнего члена в скобках в правой части уравнения (1) связано с учётом ширины полосы усиления ( $\omega_g$ ) активной примеси. Однако, как было показано в [6], если в качестве примесей использовать  $Er^{+3}$ , то уже для импульсов шириной  $\tau_0=400 \text{ fs}$ , в силу соотношения  $\omega_g \tau_0 \gg 1$ , этим членом можно пренебречь. В дальнейшем мы будем рассматривать именно этот случай, причем усиление будем считать происходящим только в одном из каналов ННО.

Для исследования эффектов переключения энергии одиночных импульсов между каналами ННО были проведены численные эксперименты, в которых начальные условия системы уравнения (1) выбраны в виде:

$$u_1(x=0, \tau) = A \operatorname{sech}(\beta \tau), \quad u_2(x=0, \tau) = 0, \quad (2)$$

причем рассматривались два типа начальных импульсов: а) солитоны ( $\beta=1$ ) и б) солитоноподобные ( $\beta=1$ ). В обоих случаях амплитуда  $A$  варьировалась в пределах от 0 до 2, а величина линейной связи выбрана равной  $\varepsilon = -0.5$ .

На рис. 1 и 2 представлены результаты численного моделирования. Кривые 1 (а) и 1 (б) на рис. 1 отображают зависимость

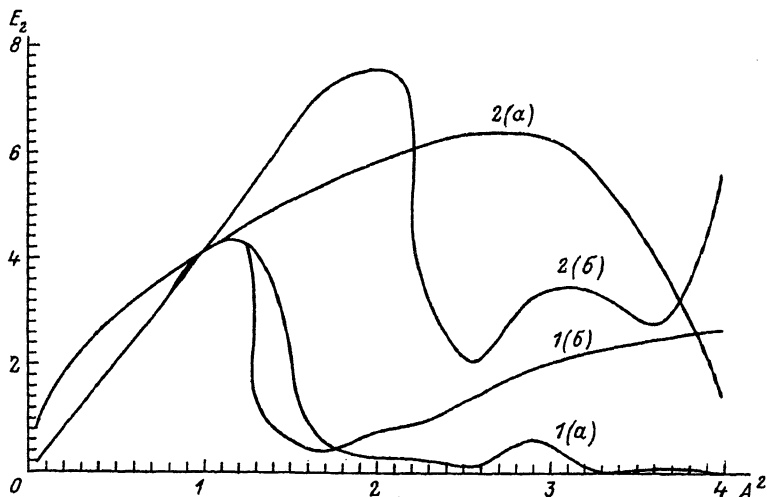


Рис. 2. То же, что и в рис. 1 для ННО с активным элементом: кривые 1 (а) и 1 (б) для случая усиления в первом канале ННО ( $\gamma_1=0.2$ ,  $\gamma_2=0$ ) и кривые 2 (а, б) для случая усиления во втором канале ( $\gamma_1=0$ ,  $\gamma_2=0.2$ ).

количество энергии  $E_2 = \int_{-\infty}^{+\infty} dt |\psi_2|^2$  во втором канале от квадрата

начальной амплитуды в первом канале ННО без учета усиления ( $\gamma_{1,2}=0$ ) для солитонов и солитоноподобных импульсов, а кривые 1 (а, б) и 2 (а, б) на рис. 2 - с учетом усиления в первом и во втором канале соответственно. Все значения фиксировались на характерной длине:  $L=3.6$  (порядка половины длины биения для случая плоских волн в линейных волоконных ответвителях ( $L=\pi/2|\varepsilon|$ )). Видно, что в отсутствии усиления, кривая перекачки энергии круче для солитоноподобных импульсов. Кроме того, около пороговой величины входной мощности, при которой осуществляется режим „оптического запирания“ импульса в канале распространения ( $A_p \approx 1.48$ ), имеется участок крутого спада (рис. 1, кривая 1 (б)), что, как уже отмечалось [1], может быть использовано для создания эффективных оптических переключателей. При наличии усиления отчетливо наблюдается улучшение переключательной характеристики ответвителя – кривые перекачки энергии (рис. 2) имеют более кругой наклон. Наряду с более эффективным переключением энергии, усиление приводит к значительному увеличению разницы между мощностями на выходах ННО. Наличие активности в первом канале ( $\gamma_1=0.2$ ,  $\gamma_2=0$ ) приводит к сужению области пороговых значений начальных амплитуд, при которых происходит „запирание“ в канале распространения ( $A_p \approx 1.25$  для солитонов и

$A_p \approx 1.15$  для солитоноподобных импульсов и, соответственно, при  $A_p \approx 2.0$ ,  $A_p \approx 1.5$  в ННО без усиления). В случае, когда активным является второй канал ответвителя ( $\lambda_1 = 0$ ,  $\lambda_2 = 0.2$ ), кривые перекачки энергии и солитонов, и солитоноподобных импульсов с начальными амплитудами  $A \leq 1$  идентичны, а режим „оптического запирания“ импульсов, запускаемых в первый канал, реализуется при более высоких значениях амплитуд, чем в ННО без усиления. Отметим также, что кривые зависимости квадрата амплитуды во втором канале от квадрата амплитуды в первом аналогичны приведенным на рис. 1 и 2. Сравнивая полученные характеристики переключения можно заключить, что для волоконных переключателей эффективнее использовать солитоноподобные импульсы, а для оптических транзисторных устройств – солитоны.

Таким образом, из представленных результатов видно, что использование оптического усиления в волоконных ответвителях улучшает амплитудные и энергетические характеристики оптического переключения.

В заключение авторы выражают благодарность Р.М. Абрагору за полезное обсуждение результатов работы.

#### Список литературы

- [1] Trillo S., Wabnitz S., Wright E.M. Stedeman G.I. // Opt. Lett. 1988. V. 13. No. 8. P. 672-674.
- [2] Abdullaev F., Abrarov R.M., Darmanyan S.A. // Opt. Lett. 1989. V. 14. No. 2. P. 131-133.
- [3] Wabnitz S., Trillo S., Wright E.M. Stegeman G.I. // JOSA B. 1991. V. 8. No. 3. P. 602-609.
- [4] Islam M.N., Sunderman E.R., Stolen R.H., Pleibel W., Simpson J.R. // Opt. Lett. 1989. V. 14. P. 811-813.
- [5] Андрюшко Л.М., Карплюк К.С., Островский С.Б. // Радиотехника и электроника. 1987. Т. 32. С. 427-431.
- [6] Masataka Nakazawa, Hirokazu Kubota, Kenji Kurokawa, Eiichi Yamada. // JOSA B. 1991. V. 8. N 9. P. 1811-1817.

Поступило в Редакцию

27 июня 1992 г.